

豪雨時における盛土斜面の崩壊について・第Ⅱ報
——人工降雨による崩壊挙動——

名城大学理工学部 正員 ○前田 郡喜春
" " 柴田 道生

はじめに

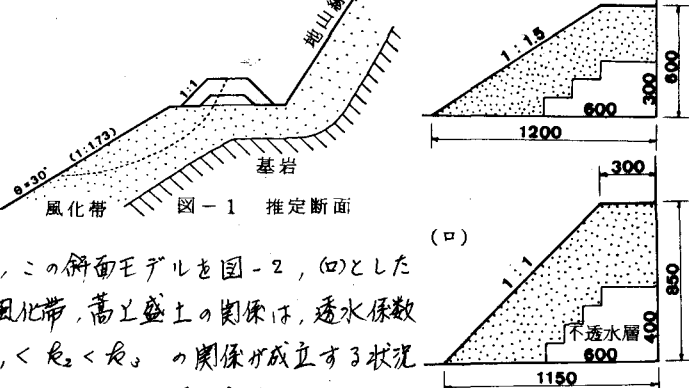
静岡県天竜川流域は緑色片岩を基岩とする御荷鉢破碎帶である¹⁾。ここに位置した龍山村農道盛土工事(幅員3m, 厚さ盛土高1.06~1.71m)において、昭和49年7月7日豪雨によって基岩を含む一大崩壊災害が発生した。(第Ⅰ報)

今回、このような地形を仮定した单纯斜面モデルにもとづいて、人工降雨による崩壊実験を行い、ここでは、①基岩(緑色片岩)と表土風化帯(角礫混り粘性土)の関係による地下水水面の形成過程とパイピングの発生状況、②第1次崩壊・第2次崩壊の時間差(約1時間)に影響する崩壊要因等、本崩壊に關係する諸因子を実験によって再現し、検討したので報告する。

1. 斜面モデルの設定

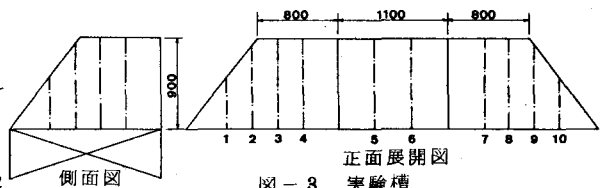
本崩壊は基岩を含む盛土斜面の崩壊であり、この地域の基岩+風化帯の推定断面を図-1と仮定したとき、これに対応した単純斜面モデルを図-2、

(1)とし、また、嵩上盛土は現地材料による1:1勾配が採用されているため、この斜面モデルを図-2、(2)とした。したがって、推定断面による基岩、風化帯、嵩上盛土の關係は、透水係数をそれぞれ k_1 、 k_2 、 k_3 とすると、 $k_1 < k_2 < k_3$ の關係が成立する状況にある。なお、本現場の細部測量は十分ではなく、現場と実験との相似則は満足できないため、ここでは目的①・②の定性的な關係のみに着目して検討した。



2. 実験概要

実験装置は図-3のように厚10mmのアクリル板と補強材によって構成された実験槽で、斜面内の浸透水が漏水しないようにビニール膜で完全シールした後、地下水位測定用として



1~10.10まで standardsパイプを壁面に貼付けた。パイプは1~10, 2~9, 3~8, 4~7, を底部で連結し、地下水位の測定値を平均化し、次々A, B, C, Dとして表示した。降雨装置は実験槽全域に拡散するように高さ6.2m点からノズルを上向きにセットし、自然降雨と近い衝撃を考えて散布した。実験に用いた試料は、砂(砂分93%, シルト分7%, $\gamma_{d,max} = 1.88 \text{ g/cm}^3$, $W_{ap,m} = 10.4\%$, $G_s = 2.771$)であり、盛土は初期含水比10.4%によって各層の締固め厚が10cmになるように締固めた。これによる試験盛土は、 $\gamma_d = 1.75 \text{ g/cm}^3$ 、内ケギ比0.58、 $\lambda = 1.78 \times 10^{-3}$ の値となった。降雨条件は、本崩壊の降雨パターン(図-4; 中断時間もつた降雨パターン)と、総雨量400mm程度によつて発生

した崩壊状況から、図-5のように降雨強度の異なる2つのケースを考えた。これらの降雨は盛土の崩壊を短期に促進するため、実際降雨より先行降雨・集中豪雨とともに大きな値を採用して実験を行った。

3. 実験結果とその考察

実験は盛工直後の最も不安定な条件に対して実施したもので、推定断面に対応したモデル(1)ケースAにおける崩壊状況は図-6・7に示す通りである。図-6は120分の先行降雨(降雨量114mm、平均57mm/hr)による崩壊挙動(時間経過による地下水位の形成過程と斜面形状の変化)をまとめた。こううちに最初の降雨によって吸水・膨潤した斜面は、降雨中断による地下水位の減水を経たのち、次に来る集中豪雨によって再び吸水・膨潤を繰返すことになる。降雨中断後120分の集中豪雨(降雨量324mm、平均162mm/hr)を受けたときの崩壊挙動は図-7である。

以上の結果、次の項目にもとづいて考察を進めた。

1) 初期破壊の型(図-8参照)

2) 地下水面の形成と初期破壊の關係 (表-1参照)

3) 動水勾配の上界と崩壊の關係

4) 法尾部における浸出点水位(A点)の上界と崩壊の關係

参考文献

1) 小出博: 日本の地すべり、東洋経済新聞社、1955, p.156

2) 柴田・前田: 豪雨時ににおける盛土斜面の崩壊、土木学会誌大会講演集、1979.2

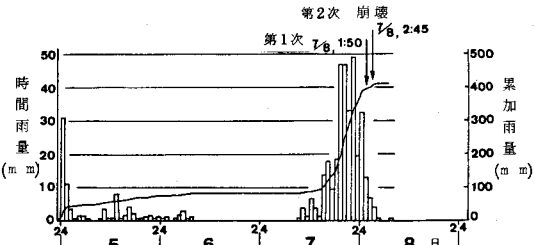


図-4 時間雨量と総雨量

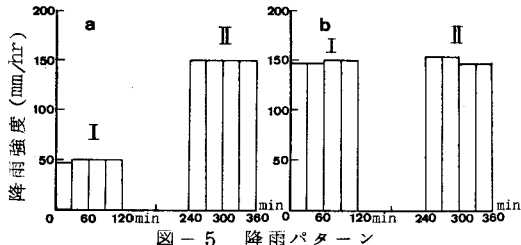


図-5 降雨パターン

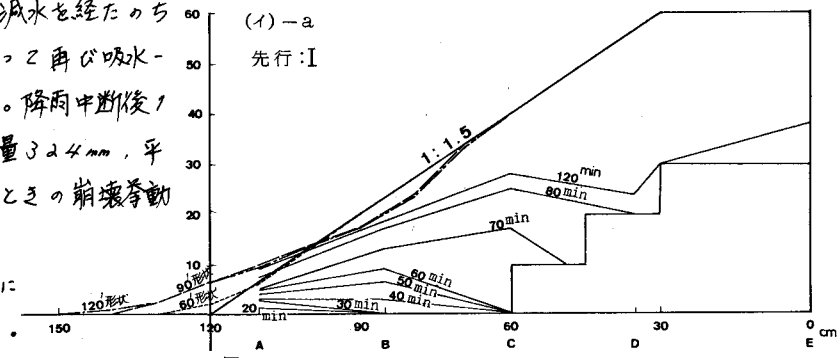


図-6 地下水面と側面形状

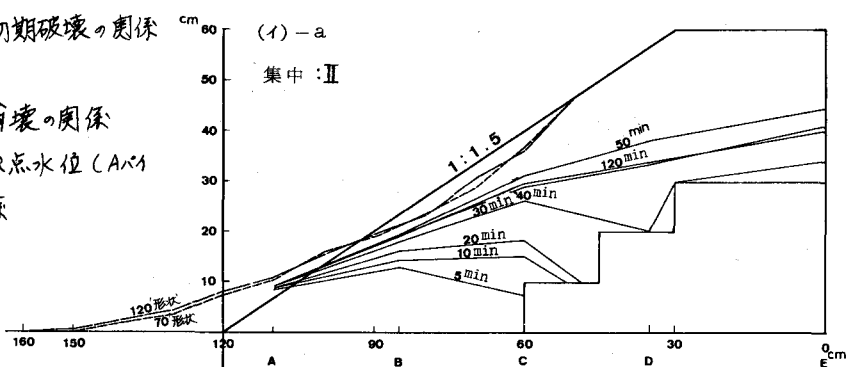


図-7 地下水面と側面形状

表-1 初期破壊

